

## 52. 振動時に形成される粒状体の斜面について

東北大学工学部 正員 近武正雄  
同 学生員。関田欣治

### 1 まえがき

水平金具両者の振動を合成して任意方向の振動を与える試験装置を用い、粒状体(砂、砂利、碎石、ガラス球)に振動を与えると、粒状体の特別の性質といえる安定な斜面が形成される。これにて、試料の種別や振動角度、振動数による影響、すなわち静的不安定角との関連などについて考察を行なったものである。

### 2 実験

2-1 実験装置 実験に用ひた装置を写真-1に示し、その原理を図-1に示す。加振機は電磁式(日本測器517-B型)で、振やはシロスコープを用いて制御し、また位相差を生じないよう位相調整器を使用した。

2-2 試料 粒状体として表-1に示すような試料を用い、砂利碎石は筋分けによって粒径で分類した。合計11種類の乾燥した試料により実験を行なった。

2-3 実験方法 加振台に写真-1、図-1に示す容器( $60 \times 60 \times 30$  cm)を装置し、試料を60kg入れて実験を行なう。全振幅(1mm)を一定に保ち、振動方向を水平に対して $10^\circ$ あきに変化させ、更に $45^\circ$ を加へる。振動数は斜面の形成が比較的顕著である24%、22%について行なう。振動時間は安定な斜面を得るよう十分間振動を加へる。又、各試料は写真-2で示される安定角測定装置を用いて、安定角と間隔比との関係を調べた。

尚、その隙間に走って生じた斜面の角度を引り角と呼び、測定した。

### 3 実験結果

$\theta = 0^\circ$ 、 $90^\circ$ 以外振動方向に沿って写真-3に示すように、斜面が形成される。この角度を示す。代表的なととの関係を図-2に示す。

試料	粒径(mm)	比重	形状
砂利	2.5 ~ 5	2.41	roundness 0.429
	5 ~ 10	2.40	0.515
	10 ~ 15	2.43	0.498
	15 ~ 20	2.43	0.531
碎石	2.5 ~ 5	2.60	angularity 738.2
	5 ~ 10	2.62	755.5
	10 ~ 15	2.63	755.9
	15 ~ 20	2.62	765.3
砂	2.0 以下	2.71	angularity 653.0
ガラス球	4.0	2.43	roundness 1.0
	12.4	2.48	1.0

表-1 試料

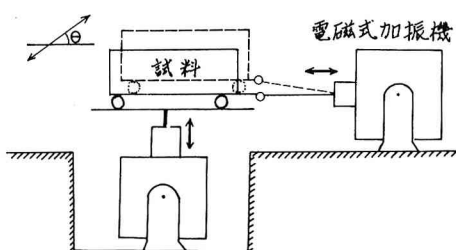


図-1 振動試験装置の原理

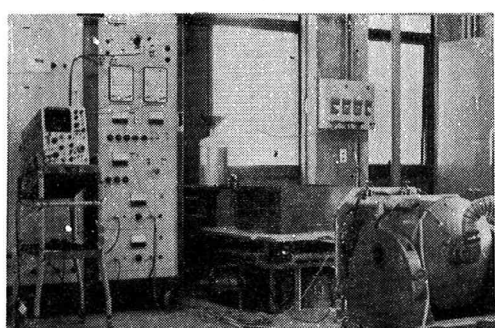


写真-1 振動試験装置

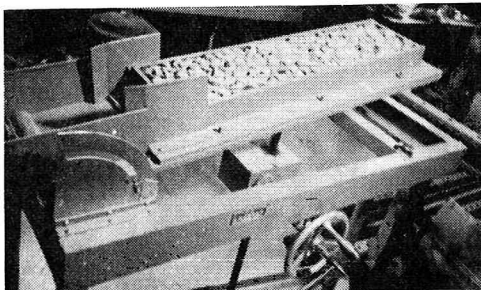


写真-2 安定角測定装置

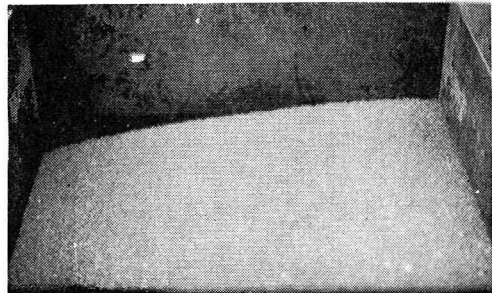


写真-3 形成される斜面

### 3-1 試料による相異

全体に形成される斜面は砂利、碎石、ガラス球等の順序で大きい。しかし、 $\theta = 10^\circ$  や  $20^\circ$  ではそれ程相違ではなく逆の場合も認められる。又、増加の仕方は砂利や碎石に較べ、砂やガラス球は緩慢である。ガラス球については粒径が大きい方が、やや大きく斜面が形成されるが、他の試料程差は生じない。

以上の結果は安定角と較べ、粒径による差は類似だが、砂利の方が碎石より小さい事は安定角の場合と異る。

3-2 振動方向の影響

一般に  $\theta$  の小さい範囲で大きく増加し、 $\theta = 20^\circ$  近辺から  $70^\circ$  まで直線的に増加し、 $70^\circ$  附近で最大の  $i$  を示し、その後急減して  $90^\circ$  で斜面は水平になる。

### 3-3 振動数の影響

全体に 22s/c より 24s/c の場合の方が  $i$  は大きい。又、その差異は碎石において大きく、砂利やガラス球においては小さい事が認められる。

### 3-4 安定角とせり角との関係

図-3 は安定角及びせり角を示したものであるが、斜面が形成されるときの順序よりも対して 2) 安定角より斜面角  $i$  は小さい値となる。最大の  $i$  との関係は表-1 の通りで、碎石については、安定角、せり角、最大の  $i$ 、砂利については、安定角、最大の  $i$ 、せり角、砂やガラス球は碎石の型で、ガラス球工は砂利型の順序で小さくなる。2)

## 4 考察

静的な状態でせり角  $\beta$  は、マクロ的せり線上沿う粒子接觸角  $\beta_{\text{sc}}$  を用いて

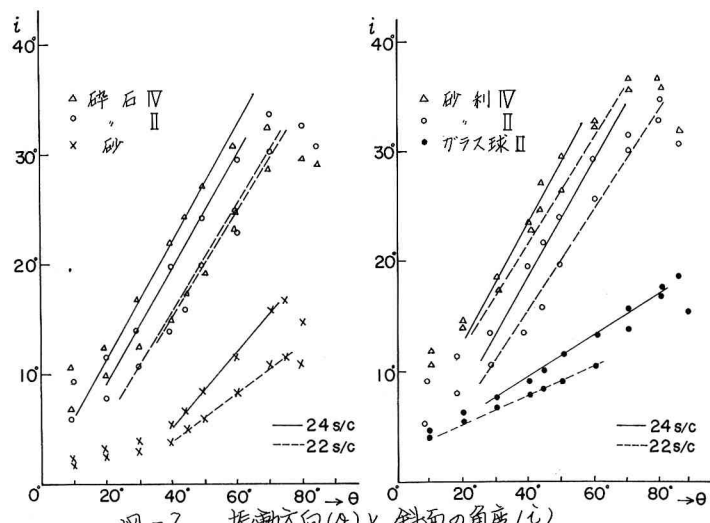


図-2 振動方向( $\theta$ )と斜面の角度( $i$ )

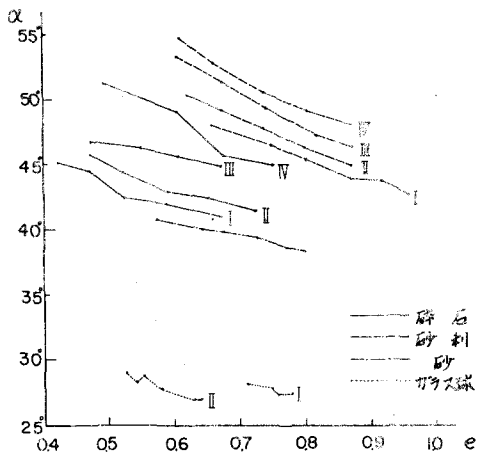


図-3 安定角と間げき比

$$\tan i_s = \frac{S}{N} = \frac{\sum F_i \sin(\beta + \delta)}{\sum F_i \cos(\beta + \delta)} \quad (4.1)$$

とかける。

図-4のように $F_i$ は粒子の接着力、 $\delta$ は粒子の摩擦角とする。<sup>3)</sup>村山等は光弹性実験による研究で、 $F_i$ と $\beta$ の複数分布 $N$ を求めて、更に $F_i = CN_i$ なる関係を得てある。この関係を適用すれば

$$\tan i_s = \frac{\sum N_i \sin(\beta + \delta)}{\sum N_i \cos(\beta + \delta)} \quad (4.2)$$

この場合 $N_i$ は載荷前のものを用いるのが適当で、その結果は、

$$\tan i_s = \tan \delta \quad (4.3)$$

となる。これは、実際のせりがおかる方向では接着力の平均値が0になつてゐる事を意味している。

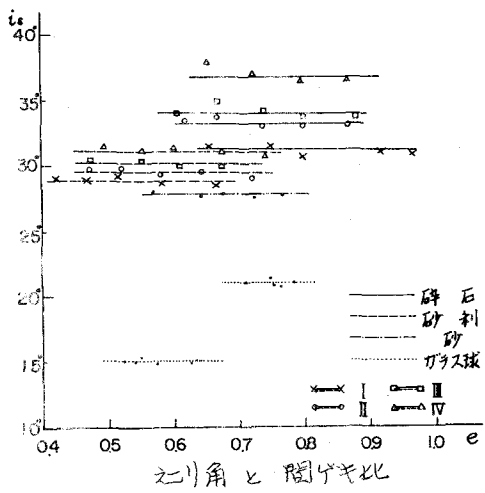
振動時に形成される斜面については、図-1のよう水平に対して角度 $i$ 傾いた土壁 $\beta$ - $\delta$ を考え、これが中立点 $(u_0, s_0)$ を中心振幅 $a$ で $\theta$ 方向に正弦振動してゐるとし、この座標に対する粒子の相対運動を考える。

$$S - S_0 = a \sin \omega t \cos(\theta - i), \quad u - u_0 = a \sin \omega t \sin(\theta - i) \quad (4.4)$$

$$\begin{aligned} \text{粒子の運動方程式} \quad m\ddot{u} &= -mg \cos i + R \\ & m\ddot{s} = -mg \sin i + T \end{aligned} \quad \left. \right\} (4.5)$$

したがつて

$$m\ddot{u}_0 = ma^2 \sin \omega t \sin(\theta - i) - mg \cos i + R \quad (4.6)$$



試料名	安定角	最大形成角	せり角
碎石	I 53.30 52.20	31(度) 25.30	31
	II 52.20 49.30	34 33	33
	III 50.10 49.30	34 34	34
	IV 53.30 52.20	33 33	37
			37
砂利	I 44.00 43.30	29 28	29
	II 44.50 44.50	35 33	29.30
	III 45.50 46.00	36 35	29.30
	IV 50.30 51.00	37 37	30.30
			31
ガラス球	I 28.40 28.30	16.30 17.30	15
	II 29.00 29.00	17.30 18	15
			21
			21
砂	I 38.30 28.20	17.30 12	28
			28

表-2

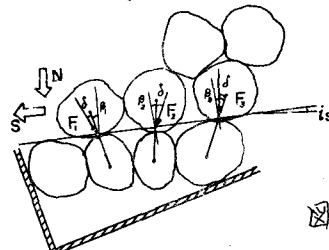


図-4

$$m\ddot{s} = m\omega^2 \sin(\theta-i) - mg \sin i + T \quad (4.6)$$

粒子が移動しないとき  $\dot{u}=0, \ddot{s}=0$  で

$$\frac{R}{mg} = \cos i - \eta \sin \omega t \sin(\theta-i) \quad (4.7)$$

$$\frac{T}{mg} = \sin i - \eta \sin \omega t \cos(\theta-i)$$

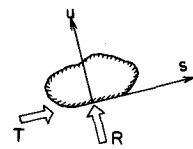
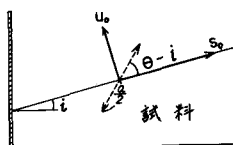


図-5

但し、 $\eta = \omega^2/g$  であり、 $R/mg > 0$  のならば、飛びあがらない。この場合斜面の粒子がこり出す限界で、 $R \tan \phi = T$  が、成立すると仮定すると、次式が得られる。

$$\sin(\phi-i) = -\eta \sin \omega t \cos(\phi-i+\theta) \quad (4.8)$$

斜面が安定なためには、いはとり得る最小値と考られ ( $\sin \omega t = -1$  となる)

$$i = \phi + \theta - \Theta \quad (4.9)$$

$$\text{但し } \tan \Theta = \frac{\eta}{\cos \theta} + \tan \theta$$

①に対して 24%, 22% の場合、近似的にそれぞれ

$$\Theta - \Theta = \frac{24^\circ 40'}{45^\circ} \theta - 49^\circ 15', \quad \Theta - \Theta = \frac{22^\circ 10'}{45^\circ} \theta - 44^\circ 15'$$

とおけるので、

$$i = \begin{cases} \phi + \frac{24^\circ 40'}{45^\circ} \theta - 49^\circ 15' \\ \phi + \frac{22^\circ 10'}{45^\circ} \theta - 44^\circ 10' \end{cases} \quad (4.10)$$

が得られる。図-2は実験によって得られた  $i$  との関係を示したものであるが、図示のようにほぼ直線性があり、碎石、砂利についても、その勾配は(4.10)式によるものとほぼ一致してゐることわかる。しかし中は振動方向や加速度により変化するので、直線性は広い範囲では、成立しない。

## 5 あとがき

本文は粒状体の振動時に形成される斜面に関する実験結果と若干の理論的考察述べる。この考察は粒子の表面だけの運動を考慮している決して十分とは言えない。更に中の意味等検討を要すると思われる。又、実験においても振動数や振幅を変化させた場合についても調べる必要があると思うので、更に検討をつづけて行きたい。

## 参考文献

- 1) 佐武正雄、浅野照雄：粒状体の力学的特性に関する実験 土木学会東北支部技術研究発表会講演概要集、昭45.3 113~116
- 2) 佐武正雄、田野久貴、関田欣治：往復方向振動をうける粒状体の実験について、土木学会第25回年次学術講演集、第3部 229~232
- 3) 村山達郎、松川元：三次元モデルによる粒状体のセンサル現象の幾何的考察、京大防災研究所報第13号B 昭45.3 505~523